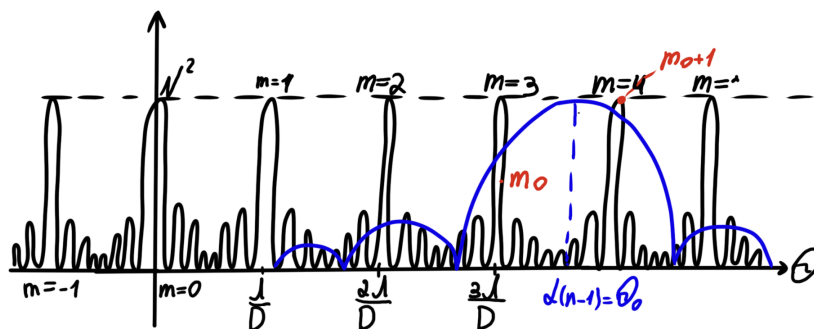


Положение главных максимумов:

$$\sin^2 \left( \frac{kD}{2} \sin \theta_m \right) = 0 \Rightarrow \frac{kD}{2} \sin \theta_m = m\pi \Rightarrow \sin \theta_m = \theta_m = m \frac{\lambda}{D}$$



$$\sin \theta_0 = \alpha(n-1) \ll 1 \Rightarrow \theta_0 = \alpha(n-1)$$

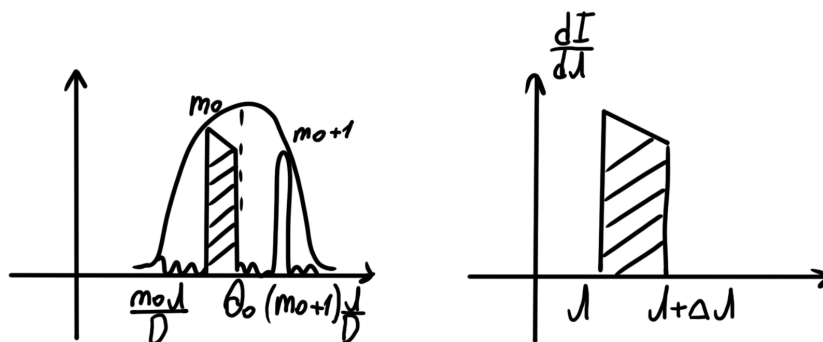
Обращение в ноль:  $\frac{kD}{2}(\alpha(n-1) - (\theta_0 - \Delta\theta)) = \pm\pi \Rightarrow \Delta\theta = \pm \frac{\lambda}{D}$

$$m_0 = \left[ \frac{\alpha(n-1)}{\frac{\lambda}{D}} \right]$$

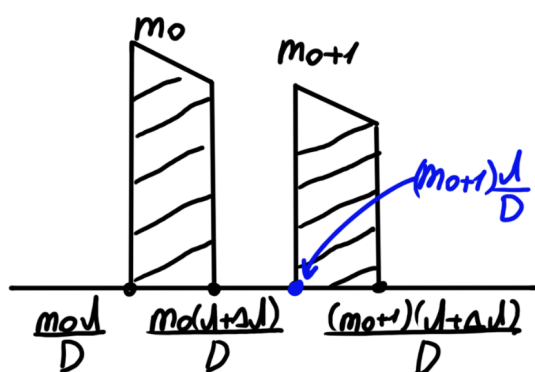
$$\delta\theta_{int} - \text{ширина главного максимума} = \frac{\Delta\theta_m}{\frac{\lambda}{D}} = \frac{\lambda}{DN}$$

## 1. Основные параметры диффракционных решеток

1. Угловая дисперсия:  $\frac{d\theta_m}{d\lambda} = \frac{d}{d\lambda} \left( m \frac{\lambda}{D} \right) = \frac{m}{D} = \frac{\theta_m}{\lambda}$  - для фазовой решетки  $\frac{d\theta}{d\lambda} \sim \frac{\theta_{m_0}}{\lambda}$
2. Свободная область дисперсии  $\Delta\lambda$   
(для фазовой решетки)



$$\lambda' = \lambda \pm \lambda + \Delta\lambda$$



$$\Delta\lambda_{\max} - ? \quad \frac{m_0(\lambda + \Delta\lambda)}{D} \leq (m_0 + 1) \frac{\lambda}{D} \Rightarrow m_0 \Delta\lambda \leq \lambda$$

$$\Rightarrow \Delta\lambda_{\max} = \frac{\lambda}{m_0} - \text{свободная область дисперсии}$$

3. Спектральное разрешение  $R_\lambda = \frac{\lambda}{\delta\lambda_{\min}}$   
(для фазовой решетки)

$$\frac{m_0\lambda_1}{D} + \underbrace{\delta\theta_{int}}_{\frac{\lambda_1}{DN}} = \frac{m_0\lambda_2}{D} = \frac{m_0(\lambda_1 + \delta\lambda_{\min})}{D}$$

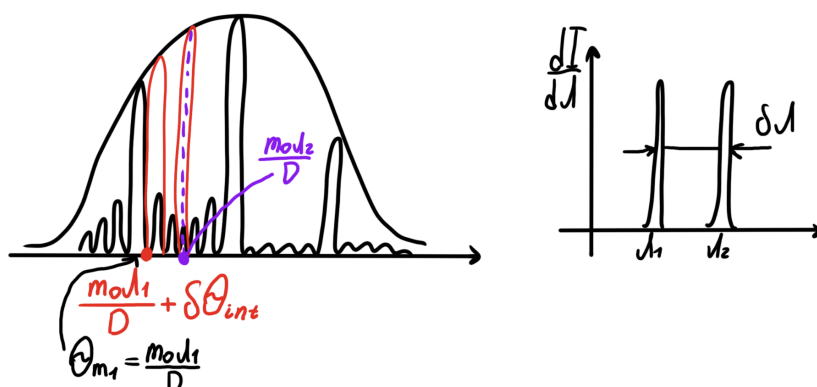
$$\frac{\lambda_1}{DN} = \frac{m_0\delta\lambda_{\min}}{D}$$

$$R_\lambda = \frac{\lambda}{\delta\lambda_{\min}} = m_0 N$$

, где  $N$  - типичное  $10^5$ ,  $m_0 = 1 \pm 100$

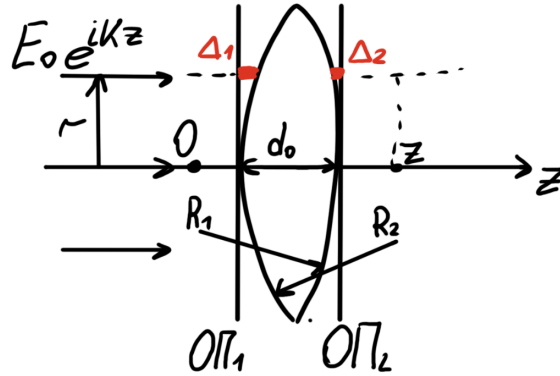
## 2. Принцип Гюйгенса-Френеля и геометрическая оптика

На линзу падает плоская монохроматическая волна под малым углом к  $Oz$



$$R_1 > 0, R_2 < 0$$

$$\varphi(r)_{\text{на оп}_2} = kS_{\text{оптический путь}} = k(\Delta_1 + \Delta_2 + (d_0 - \Delta_1 - \Delta_2)n) = \underbrace{kd_0n}_{\varphi_0} - k(n-1)(\Delta_1 + \Delta_2)$$



$$\Delta z = \sqrt{R_1^2 - r^2} \Rightarrow \Delta_1 = R_1 - \Delta z = R_1 - \sqrt{R_1^2 - r^2}$$

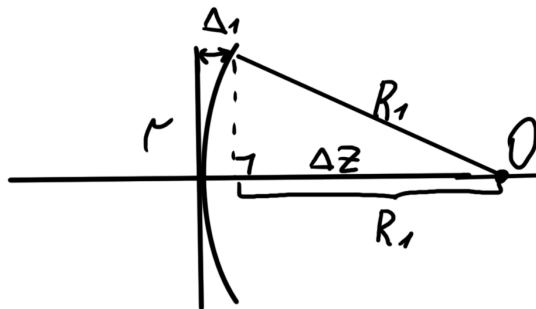
Если углы малы  $\Rightarrow r \ll R_1, R_2$

$$\Rightarrow \Delta_1 = R_1 - R_1 \left(1 - \frac{r^2}{2R_1^2}\right) = \frac{r^2}{2R_1}$$

$$\Delta_2 = \frac{r^2}{2(-R_2)} \Rightarrow \varphi(r) = \varphi_0 - k \frac{r^2}{2} (n-1) \left( \frac{1}{R_1} - \frac{1}{R_2} \right) = \varphi_0 - \frac{kr^2}{2F_{\text{л}}}$$

, где  $F_{\text{л}}$  - фокусное расстояние линзы.

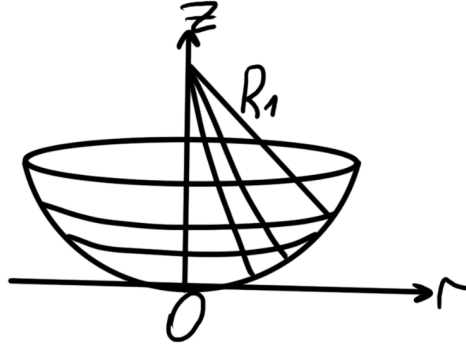
$$\varphi(r, z) = \varphi_0 - \frac{kr^2}{2F_{\text{л}}} + (z - d_0)k \text{ на поверхности фазового фронта } \varphi(r, z) = \text{const}$$



Параболоид вращения  $z = \text{const} + \frac{r^2}{2F_{\text{л}}}$

Параболоид и сфера близки в параксиальном приближении.

$$\text{В точке: } \frac{dz}{dr} = 0 \quad \frac{1}{R_{\text{кр}}} = \frac{d^2 z}{dr^2} = \frac{d^2}{dr^2} \left( \frac{r^2}{2F_{\text{л}}} \right) = \frac{1}{F_{\text{л}}} \Rightarrow R_{\text{кр}} = F_{\text{л}}$$

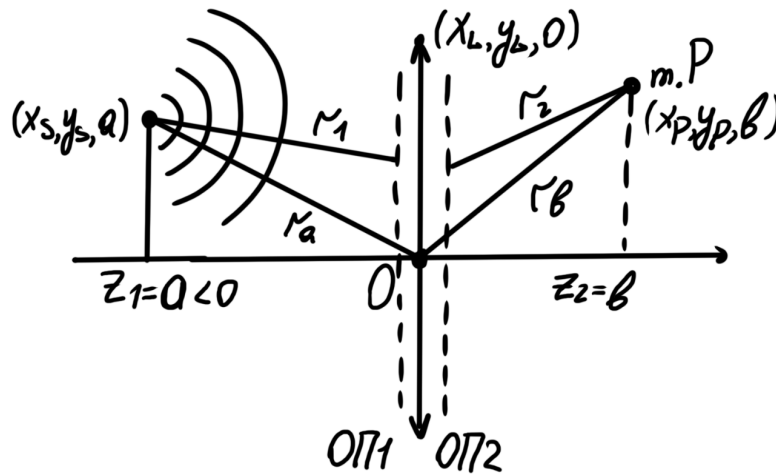


Изображение точечного источника линзой с учетом дифракции на линзе.

$$r_1 = \sqrt{(x_l - x_s)^2 + (y_l - y_s)^2 + a^2},$$

$$r_2 = \sqrt{x_p^2 - x_l^2 + (y_p - y_l)^2 + b^2}$$

$|a|, |b| \gg |x_l|, |x_s|, |y_l|, |y_s|, |y_p|, |x_p|$  - параксиальное приближение



$$\text{На О}\Pi_1 : E_1(x_2, y_2, 0) = \frac{A}{r_1} e^{ikr_1}$$

$$r_1 \approx |a| \left( 1 + \frac{(x_l - x_s)^2}{2a^2} + \frac{(y_l - y_s)^2}{2a^2} + \dots \right) = |a| - \frac{(x_l - x_s)^2 + (y_l - y_s)^2}{2a}$$

$$E_1(x_l, y_l, 0) = E_0 e^{ik|a|} e^{-ik \frac{(x_l - x_s)^2 + (y_l - y_s)^2}{2a}}$$

$$\text{На О}\Pi_2 : E_2(x_l, y_l, 0) = E_1(x_l, y_l, 0) e^{i\varphi_0 - ik \frac{x_l^2 + y_l^2}{2F_n}}$$

В плоскости  $z = b$  :

$$E_p(x_p, y_p, 0) = \frac{k}{2\pi i} \int_{-\frac{D}{2}}^{\frac{D}{2}} \int_{-\frac{D}{2}}^{\frac{D}{2}} dx_l dy_l E_2(x_l, y_l, 0) \frac{e^{ikr_1}}{r_2} \cos \theta$$

$$r_2 = b + \frac{(x_p - x_l)^2 + (y_p - y_l)^2}{2b}$$

$$E_p = \frac{kE_0}{2\pi ib} e^{ik\left[-a - \frac{x_s^2 + y_s^2}{2a} + b + \frac{x_p^2 + y_p^2}{2b}\right] + i\varphi_0} \int_{-\frac{D}{2}}^{\frac{D}{2}} dx_l e^{ik\left[-\frac{x_l^2}{2a} - \frac{x_l^2}{2F_{\text{л}}} + \frac{x_l^2}{2b} + \frac{x_s \cdot x_l}{a} - \frac{x_p \cdot x_l}{b}\right]} \cdot \int_{-\frac{D}{2}}^{\frac{D}{2}} dy_l (\dots)$$

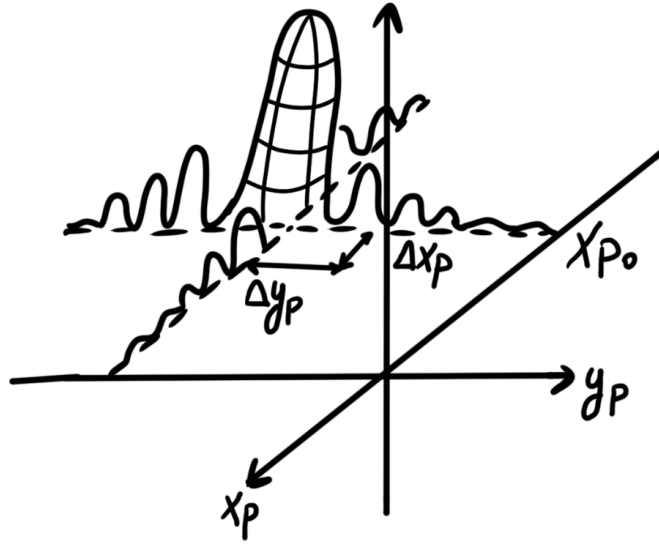
$$, \text{ где } r_a = -a \frac{x_s^2 + y_s^2}{2a}, \quad r_b = b + \frac{x_p^2 + y_p^2}{2b}$$

Если  $b$ -координата плоскости изображения, то  $\frac{1}{a} + \frac{1}{F_{\text{л}}} = \frac{1}{b}$

$$E_p = \frac{E_0}{i\lambda b} e^{ik(r_a + r_b) + i\varphi_0} D \cdot \frac{e^{ik\left(\frac{x_s}{a} - \frac{x_p}{b}\right)\frac{D}{2}} - e^{-ik\left(\frac{x_s}{a} - \frac{x_p}{b}\right)\frac{D}{2}}}{2ik\left(\frac{x_s}{a} - \frac{x_p}{b}\right)\frac{D}{2}} \cdot (\text{по } y)$$

$$I_p = \frac{|E_p|^2}{2} = I_0 \underbrace{\frac{D^4}{\lambda^2 b^2}}_{P_{\Phi}^2} \text{sinc}^2\left(\frac{kD}{2}\left(\frac{x_s}{a} - \frac{x_p}{b}\right)\right) \text{sinc}^2\left(\frac{kD}{2}\left(\frac{y_s}{a} - \frac{y_p}{b}\right)\right)$$

$$\frac{x_s}{a} - \frac{x_{p0}}{b} = 0 \Rightarrow \begin{aligned} x_{p0} &= x_s \frac{b}{a} < 0 \\ y_{p0} &= y_s \frac{b}{a} < 0 \end{aligned}$$



$$\text{Размер пятна по } x: \frac{kD}{2} \left( \frac{x_s}{a} - \frac{x_{p0} + \Delta x_p}{b} \right) = \pm \pi$$

$$\Delta x_p = \frac{\lambda}{D} b$$

$$\Delta y_p = \frac{\lambda}{D} b$$

$$I_{\text{max}} = I_0 P_{\Phi}^2; \text{ для фотоаппарата } D \sim 1, \lambda \sim 0,5 \cdot 10^{-4}, b \sim 5 \text{ см}$$

$$P_{\Phi} = \frac{1^2}{0,5 \cdot 10^{-4} \cdot 5} = 4 \cdot 10^3 \Rightarrow P_{\Phi}^2 = 1,6 \cdot 10^7$$

$$a_m \sqrt{m \lambda b} = 0,5 \text{ cm} = \sqrt{m \cdot 5 \cdot 10^{-4} \cdot 5} \Rightarrow m = 1000$$